



ZEISS CALYPSO

6.6.2808

RENAULT VALLADOLID PLANTA INYECCIÓN



RENAULT

PLANO DE PRUEBA: CC_BRUTO_HR13_Tactil_Laser

Nº PLANO:

VARIANTE:

LINEA:

Nº MOLDE:

Nº INYECTORA:

Nº MÁQUINA 3D: 31064491

Nº MMC: 202737

TALLER: 790

TURNO: Operador

TIPO DE GAMA:

CICLO MEDICIÓN:

NÚMERO PIEZA:

FECHA / HORA

FRECUENCIAL

OP_40_LARGA

17/10/2022 18:31

TIEMPO MEDICIÓN:






01:52:56,0

TEMPERATURA INICIAL:

TEMPERATURA FINAL: 24.36d

Text



FRECUENCIAL

| Name | Measured value | Nominal value | +Tol | -Tol | Desviación | +/- |
|---|----------------|---------------|--------|---------|------------|---|
| --CARA 300 ► --3041 | | | | | | |
|  3041L4 loc 3041 / ZY (19,3) | 3,3189 | 0,0000 | 2,0000 | 0,0000 | 3,3189 |  1,3189 |
|  3041L4.Z | -110,1258 | -111,5000 | 1,0000 | -1,0000 | 1,3742 | 0,3742 |
|  3041L4Z | 110,1258 | 111,5000 | 1,0000 | -1,0000 | -1,3742 |  -0,3742 |

--CARA 300 ► --3072

| | | | | | | |
|--|----------|----------|--------|---------|---------|---|
|  3072L2 loc face 3072 / X | 182,4476 | 183,3000 | 0,6000 | -0,6000 | -0,8524 |  -0,2524 |
|--|----------|----------|--------|---------|---------|---|

--CARA 300 ► -V1102

| | | | | | | |
|---|--------|--------|--------|--------|--------|--|
|  V1102SQE forme profil int E / ZYX | 1,6304 | 0,0000 | 1,2000 | 0,0000 | 1,6304 |  0,4304 |
|---|--------|--------|--------|--------|--------|--|

Puntos 97

Tipo filtro Paso bajo Spline

Lc 7,27...

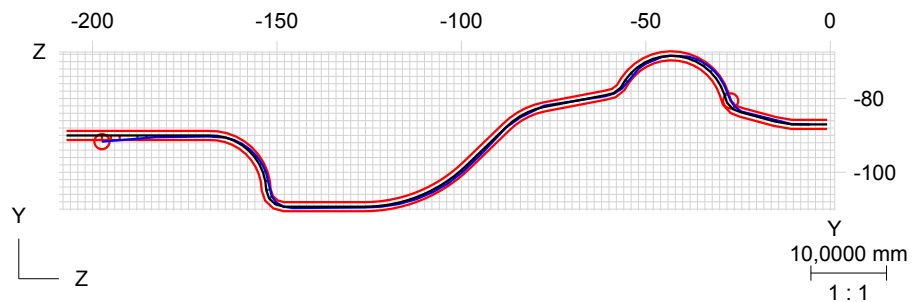
Vmed[mm/seg] 5,00

Radio palpador 1,2507

Método Evaluación Dirección de vector nom.

Adaptación

| | |
|------------|----------|
| Traslación | Rotación |
| X 0,0000 | 0,0000 |
| Y 0,0000 | 0,0000 |
| Z 0,0000 | 0,0000 |





PLANO DE PRUEBA: CC_BRUTO_HR13_Tactil_Laser

DE GAMA:

FRECUENCIAL

Nº PLANO:

CICLO MEDICIÓN:




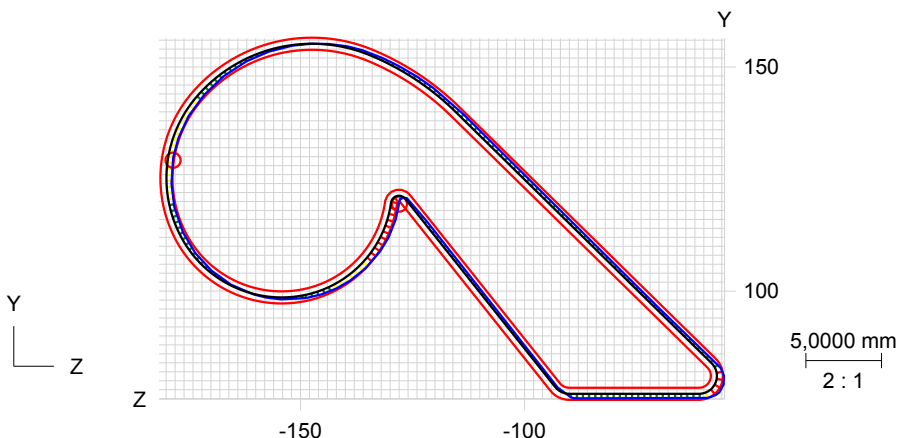
OP_40_LARGA

VARIANTE:




NÚMERO PIEZA:

FECHA / HORA









17/10/2022 18:31

| Name | Measured value | Nominal value | +Tol | -Tol | Desviación | +/- |
|--|----------------|---------------|--------|--------|------------|--|
|  V1102SQ2 forme profil int 2 / ZYX | 1,1330 | 0,0000 | 0,8000 | 0,0000 | 1,1330 |   0,3330 |
| <p>Puntos 499 Tipo filtro Paso bajo Spline Lc 1 Vmed[mm/seg] 5,00 Radio palpador 1,2507 Método Evaluación Dirección de vector nom.</p> <p>Adaptación Traslación Rotación X 0,0000 0,0000 Y 0,0000 0,0000 Z 0,0000 0,0000</p> | | | | | | |
|  | | | | | | |




--CARA 300 ► --PUNTOS TRIPLE

| | | | | | | |
|---|--------|--------|--------|--------|--------|--|
|  PPT1 forma punto triple 1 | 2,8592 | 0,0000 | 1,2000 | 0,0000 | 2,8592 |   1,6592 |
|---|--------|--------|--------|--------|--------|--|










--CARA 400 ► --4104

| | | | | | | |
|---|-----------|-----------|--------|---------|---------|---|
|  4104L1Z coord Z 4104 | 148,3669 | 149,0000 | 0,6000 | -0,6000 | -0,6331 |   -0,0331 |
|  4104L1 loc 4104 / ZX (4,98) | 1,2717 | 0,0000 | 1,2000 | 0,0000 | 1,2717 |   0,0717 |
|  4104L1.Z | -148,3669 | -149,0000 | 0,6000 | -0,6000 | 0,6331 |   0,0331 |




--CARA 400 ► --4131

| | | | | | | |
|--|-----------|----------|--------|---------|-----------|---|
|  4131L3 loc face 4131 / Y | 9999,0000 | 102,9000 | 0,9000 | -0,6000 | 9896,1000 |   9895,2000 |
|--|-----------|----------|--------|---------|-----------|---|
















--CARA 400 ► --4113

| | | | | | | |
|---|-----------|-----------|--------|---------|---------|---|
|  4113L1Z coord Z 4113 | 179,3677 | 180,0000 | 0,6000 | -0,6000 | -0,6323 |   -0,0323 |
|  4113L1 loc 4113 / ZX (6,08) | 1,2691 | 0,0000 | 1,2000 | 0,0000 | 1,2691 |   0,0691 |
|  4113L1.Z | -179,3677 | -180,0000 | 0,6000 | -0,6000 | 0,6323 |   0,0323 |

--CARA 400 ► --V305

| | | | | | | |
|--|--------|--------|--------|--------|--------|--|
|  V305SQ1 forme zone bridge V305 | 1,6999 | 0,0000 | 1,2000 | 0,0000 | 1,6999 |   0,4999 |
|--|--------|--------|--------|--------|--------|--|

--CARA 500 ► ALTURA EXPULSORES ► EXPULSORES CYL1

| | | | | | | |
|--|---------|--------|--------|--------|---------|---|
|  E02 | -0,2580 | 0,0000 | 0,6000 | 0,0000 | -0,2580 |   -0,2580 |
|  E04 | -0,3283 | 0,0000 | 0,6000 | 0,0000 | -0,3283 |   -0,3283 |
|  E05 | -0,2222 | 0,0000 | 0,6000 | 0,0000 | -0,2222 |   -0,2222 |
|  E19 | -0,1691 | 0,0000 | 0,6000 | 0,0000 | -0,1691 |   -0,1691 |
|  E20 | -0,3311 | 0,0000 | 0,6000 | 0,0000 | -0,3311 |   -0,3311 |



PLANO DE PRUEBA: CC_BRUTO_HR13_Tactil_Laser

Nº PLANO:

VARIANTE:

DE GAMA:

CICLO MEDICIÓN:

NÚMERO PIEZA:

FECHA / HORA

FRECUENCIAL

OP_40_LARGA

17/10/2022 18:31

| Name | Measured value | Nominal value | +Tol | -Tol | Desviación | +/- |
|---|----------------|---------------|--------|--------|------------|---------|
| --CARA 500 ► ALTURA EXPULSORES ► EXPULSORES CYL2 | | | | | | |
| E06 | -0,2649 | 0,0000 | 0,6000 | 0,0000 | -0,2649 | -0,2649 |
| E07 | -0,0627 | 0,0000 | 0,6000 | 0,0000 | -0,0627 | -0,0627 |
| E17 | -0,1070 | 0,0000 | 0,6000 | 0,0000 | -0,1070 | -0,1070 |
| E18 | -0,1970 | 0,0000 | 0,6000 | 0,0000 | -0,1970 | -0,1970 |
| --CARA 500 ► ALTURA EXPULSORES ► EXPULSORES CYL3 | | | | | | |
| E08 | -0,2170 | 0,0000 | 0,6000 | 0,0000 | -0,2170 | -0,2170 |
| E15 | -0,0385 | 0,0000 | 0,6000 | 0,0000 | -0,0385 | -0,0385 |
| E16 | -0,0936 | 0,0000 | 0,6000 | 0,0000 | -0,0936 | -0,0936 |
| --CARA 500 ► ALTURA EXPULSORES ► EXPULSORES CYL4 | | | | | | |
| E12 | -0,0284 | 0,0000 | 0,6000 | 0,0000 | -0,0284 | -0,0284 |
| E13 | -0,1093 | 0,0000 | 0,6000 | 0,0000 | -0,1093 | -0,1093 |
| E14 | -0,1214 | 0,0000 | 0,6000 | 0,0000 | -0,1214 | -0,1214 |
| --CARA 500 ► ALTURA EXPULSORES ► EXPULSORES EXTERIORES | | | | | | |
| E01 | 0,8445 | 0,0000 | 0,6000 | 0,0000 | 0,8445 | 0,2445 |
| E21 | -0,0285 | 0,0000 | 0,6000 | 0,0000 | -0,0285 | -0,0285 |
| E22 | -0,0196 | 0,0000 | 0,6000 | 0,0000 | -0,0196 | -0,0196 |
| E23 | -0,2098 | 0,0000 | 0,6000 | 0,0000 | -0,2098 | -0,2098 |
| E24 | -0,1746 | 0,0000 | 0,6000 | 0,0000 | -0,1746 | -0,1746 |
| E32 | -0,1661 | 0,0000 | 0,6000 | 0,0000 | -0,1661 | -0,1661 |
| E33 | -0,0386 | 0,0000 | 0,6000 | 0,0000 | -0,0386 | -0,0386 |
| E34 | -0,1823 | 0,0000 | 0,6000 | 0,0000 | -0,1823 | -0,1823 |
| E35 | -0,2749 | 0,0000 | 0,6000 | 0,0000 | -0,2749 | -0,2749 |
| E39 | -0,1189 | 0,0000 | 0,6000 | 0,0000 | -0,1189 | -0,1189 |
| E40 | -0,0275 | 0,0000 | 0,6000 | 0,0000 | -0,0275 | -0,0275 |
| E44 | -0,4009 | 0,0000 | 0,6000 | 0,0000 | -0,4009 | -0,4009 |
| E45 | -0,0742 | 0,0000 | 0,6000 | 0,0000 | -0,0742 | -0,0742 |
| E46 | -0,1099 | 0,0000 | 0,6000 | 0,0000 | -0,1099 | -0,1099 |

PLANO DE PRUEBA: **CC_BRUTO_HR13_Tactil_Laser**

Nº PLANO:

VARIANTE:

DE GAMA:

CICLO MEDICIÓN:



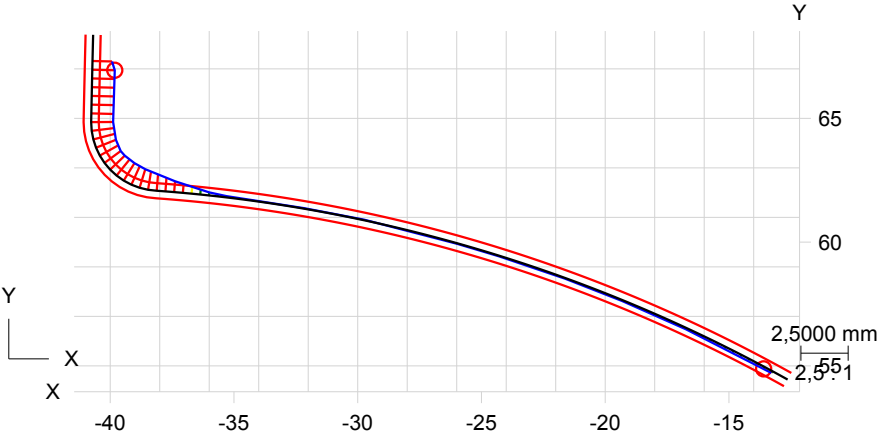
















NÚMERO PIEZA:

FECHA / HORA

FRECUENCIAL

OP_40_LARGA

17/10/2022 18:31

| Name | Measured value | Nominal value | +Tol | -Tol | Desviación | +/- |
|--|----------------|---------------|--------|---------|------------|---|
| --CARA 500 | | | | | | |
|  V1302FERH3 forme ext retour huile 3 / ZYX | 2,3769 | 0,0000 | 0,8000 | 0,0000 | 2,3769 |  1,5769 |
| <p>Puntos 99 Tipo filtro Paso bajo Gauss Lc 1 Vmed[mm/seg] 3,00 Radio palpador 1,2508 Método Evaluación Dirección de vector nom. Adaptación Traslación Rotación X 0,0000 0,0000 Y 0,0000 0,0000 Z 0,0000 0,0000</p>  | | | | | | |
| --CARA 600 ► --6031 | | | | | | |
|  6031L1X coord X 6031 | 169,3688 | 170,0000 | 0,6000 | -0,6000 | -0,6312 |  -0,0312 |
|  6031L1 loc 6031 / YX (8,23) | 1,3693 | 0,0000 | 1,2000 | 0,0000 | 1,3693 |  0,1693 |
|  6031L1.X | 169,3688 | 170,0000 | 0,6000 | -0,6000 | -0,6312 | -0,0312 |
| --CARA 600 ► --6070 | | | | | | |
|  6070L2 loc fond 6070 / Y | 190,7535 | 192,0000 | 0,9000 | -0,9000 | -1,2465 |  -0,3465 |
| --CARA 600 ► --6091 | | | | | | |
|  6091L1Y coord Y 6091 | 70,5865 | 71,1300 | 0,6000 | -0,6000 | -0,5435 |  0,0215 |
|  6091L1 loc 6091 / ZYX (11,73) | 1,2215 | 0,0000 | 1,2000 | 0,0000 | 1,2215 |  0,0215 |
|  6091L1.Y | 70,5865 | 71,1300 | 0,6000 | -0,6000 | -0,5435 | |
|  6091L2 loc 6091 / ZYX (10,34) | 1,3702 | 0,0000 | 1,6000 | 0,0000 | 1,3702 |  0,0215 |
| --CARA 600 ► --Forme Flanc de Palier | | | | | | |
|  FP1SQ1 forme flanc de palier 1 / ZYX | 1,9449 | 0,0000 | 1,5000 | 0,0000 | 1,9449 |  0,4449 |